

Письма в ЖЭТФ, том 11, стр. 260 – 264

5 марта 1970 г.

ПЕРИФЕРИЧЕСКАЯ ГЕНЕРАЦИЯ ЧАСТИЦ ПРИ ВЫСОКОЙ ЭНЕРГИИ

В.А.Колкунов, Е.С.Николаевский, К.А.Тер-Мартirosян

Ниже показано, что спектры π^- , K^- , \bar{p} , полученные [1] группой ИФВЭ-ЦЕРН при облучении ядер Al^{27} протонами при 70 Гэв хорошо воспро-

изводятся простой моделью периферического рождения, отвечающей графику рис. 1, а. Быстрое убывание спектров [1] с ростом лаб. энергии частиц является следствием убывания вершины G превращения протона в систему конечных частиц (π^- , Δ^{++} , или $K^-(K^+p)$ или $\bar{p}(pp)$) – в области не очень боль-

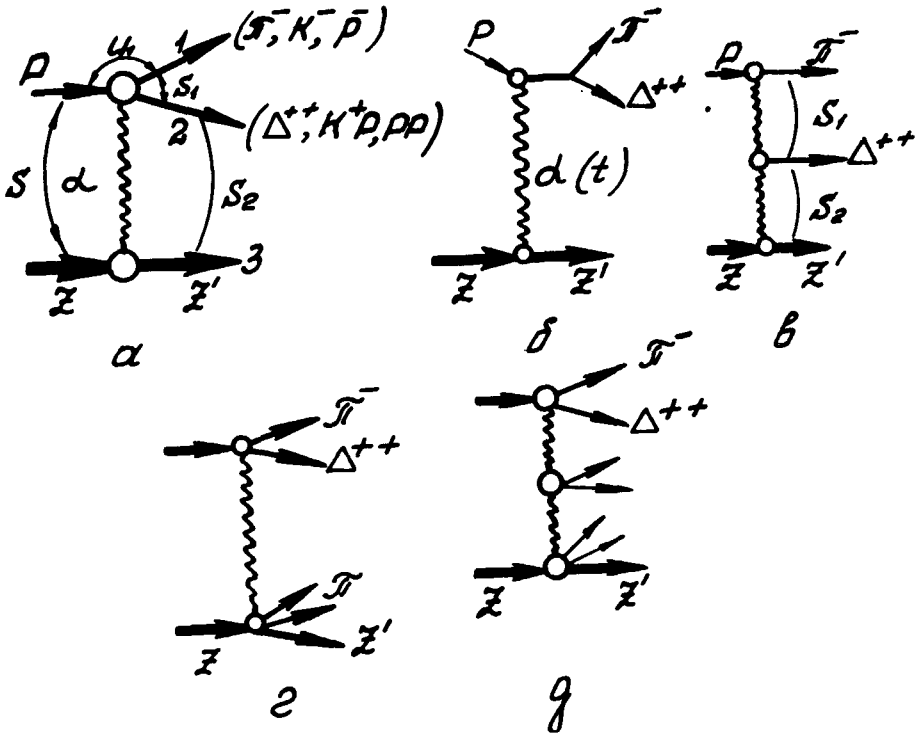


Рис.1

ших значений ее массы $\sqrt{s_1}$, порядка резонансных. Рассмотрим сначала реакцию $pZ \rightarrow \pi^- \Delta^{++} Z'$, где Z ядро Al (или один из его нуклонов). Графику рис. 1 отвечает амплитуда

$$T = \eta_\alpha g_Z(t) G(s_1, u_1; t) s^{\alpha(t)}, \quad (1)$$

где $\alpha(t) = 1 + \alpha'(0)t$ – траектория полюса Померанчука, $\eta_\alpha = i - \text{ctg } \pi\alpha/2 \approx i \exp(-\frac{1}{2} \alpha'(0)t)$, инварианты $s_1 t$ и s_1, u_1 указаны на рис. 1, причем вершину G представим в виде:

$$G = \tilde{g}(t) \frac{e^{-\gamma s_1} + \lambda s_1^{1+\beta(u_1)}}{s_1^{\alpha(t)} (s_1 - m_0^2 + i m_0 \Gamma_0)}, \quad (2)$$

в котором она имеет при небольших $s_1 \sim m_0^2$ резонансный ход, отвечающий образованию [2] и распаду¹⁾ на π^- и Δ^{++} резонанса (рис. 1, б) с массой m_0 и шириной Γ_0 , а при больших $s_1 \gg m_0^2$ реджевский ход $G \sim s_1^{\beta(u_1) - \alpha(t)}$,

1) В (2) не учтена, в первом члене зависимость от направления p_{12} этого распада в системе покоя резонанса (т. е. от u_1 , см. рис. 1). Кроме того допущено, что зависимость от t в G выделяется в виде множителя $\tilde{g}(t) \sim \exp(R_\rho^2 t/2)$

дающий в (1) мультиреджеонный ответ $T \sim s_1^{\beta(u_1)} s_2^{\alpha(t)}$ (при $s_1 \gg \gg m_0^2$ [3] $s = s_1 s_2 m \Delta^2$ см. рис. 1,6). Через γ и λ в (2) обозначены некоторые параметры, а в качестве резонансного выбрано состояние $M(1410)$ с $l \approx 1/2$, образование которого идет с наибольшей вероятностью; для него $m_0 = 1,4$, $\Gamma_0 = 0,2$ (все величины выражаем в Γ_{Δ} , или Γ_{Δ}^2). Другие состояния, например $M(1680)$, которые также образуются, мы не учитывали. Вершина $\tilde{g}(t)$ в (2) зависит также от массы $m_2 \Delta^{++}$; мы будем считать, что

$$g_Z(t) \tilde{g}(t) = (4\pi)^2 \tilde{\gamma} e^{R^2 t} \phi(m_2) \quad (3)$$

и усреднить сечение по форме спектра, выбирая $\Phi = \Phi_1 = \frac{m \Delta \Gamma \Delta}{m_2^2 - m_{\Delta}^2 + i m_{\Delta} \Gamma \Delta}$

или задавая $\Phi = \Phi_2 = \exp[\alpha(m_{\Sigma}^2 - m_2^2)]$, где $m_{\Sigma} = m_{\pi} + m_p$, а α — некоторый параметр.

Вычисляя фазовый объем $dr_3 = (2\pi)^4 \delta^{(4)}(P - \sum_{i=1}^3 p_i) \prod d^3 p_i (2\pi)^{-3} (2\epsilon_i)^{-1} = (4\pi)^{-4} p_1 dE_1 d\cos\theta_1 2p_{23} m_b^{-1} dz_0 d\phi_0$ найдем сечение $d\sigma = |T|^2 (4\sqrt{s} p)^{-1} dr_3$ в виде

$$\frac{d^2\sigma}{dE_1 d\cos\theta_1} = m_z E_0 p_1 \frac{2p_{23}}{m_b} \int_{-1}^{+1} dz_0 \int_0^{2\pi} d\phi_0 \left| \frac{T}{(4\pi)^2 s} \right|^2, \quad (4)$$

где $p_1 = \sqrt{E_1^2 - m_1^2}$ и θ_1 — лаб. энергия и угол вылета π^- , E_0 — лаб. энергия чалетающего протона ($p\sqrt{s} = m_z E_0$, m_z — масса ядра мишени), а p_{23} и m_b импульс и полная энергия двух остальных частиц — ядра отдачи и Δ^{++} в системе их

$$\text{ц. и., причем } 2p_{23} m_b = \left\{ \left[1 - \left(\frac{m_2 + m_3}{m_b} \right)^2 \right] \left[1 - \left(\frac{m_2 - m_3}{m_b} \right)^2 \right] \right\}^{1/2},$$

где m_2 и m_3 — массы этих частиц и $m_b^2 = (P - p_1)^2 = s(1 - \epsilon)$, $s = 2m_z E_0$,

$$\text{а } \epsilon = \frac{E_1}{E_0} \left(1 + \frac{E_0}{2m_z} \theta_1^2 \right) \approx \frac{E_1}{E_0} \left(1 + \frac{s \theta_1^2}{4m_z^2} \right). \quad (5)$$

Интегрирование в (4) проводится по всем направлениям $p_{23} = (\theta_0, \phi_0)$ импульса p_{23} в с.ц.и. дра отдачи и Δ^{++} . Инварианты s_1 и $t(z_0)$ (7) зависят от $z_0 = \cos\theta_0$, причем в (4) вклад дает область малых θ_0 . т. е. $z_0 \approx 1$ ($s_1 = m_1^2 + m_2^2 + s\epsilon\sqrt{1-\epsilon}(1-z_0)/2$).

При очень малых лаб. углах θ_1 (при $E_0 \theta_1 < m_0$) $|T|^2$ от ϕ_0 не зависит, т. е. здесь $\int_0^{2\pi} d\phi_0 |T|^2 = 2\pi |T|^2$. Поэтому получим здесь из (1) — (4) прибли-

женно, вводя вместо z_0 переменную s_1 :

$$\frac{d^2\sigma}{dE_1 d\cos\theta_1} = 2\pi\tilde{\gamma}^2 E_1 \int_{s_1^0}^{\infty} e^{2\lambda t} |f|^2 ds_1, \quad (6)$$

где f — множитель при $\tilde{g}(t)$ в (2) при $u_1 = 0$, $\lambda = R^2 + \alpha'(0) \ln E_0$, а

$$s_1^0 = \frac{m_1^2}{\epsilon} + \frac{m_2^2}{1-\epsilon} - \text{минимальное значение } s_1 \text{ в (4), отвечающее}$$

$$\cos\theta_1 = 1 \text{ и}$$

$$-t = (E_0\theta_1)^2 + \sqrt{1-\epsilon}(s_1 - s_1^0) + \Delta t, \quad (7)$$

где $\Delta t = E_0\theta_1^2 \times \sqrt{s_1 - s_1^0} \cos\phi_0$ ($x = 2\sqrt{\epsilon(1-\epsilon)}$ — член не учтенный в (2), малый в области $E_0\theta_1 \sim m_p$)¹⁾. Из (5) — (7) видно, что $d^2\sigma/dE_1 d\cos\theta_1$ быстро падает с ростом $\gamma = E_0\theta_1 m_p^{-1}$ при данном $\epsilon_0 = E_1/E_0$, так как при этом увеличивается $(-t)$. Формулы (6) — (8) содержат своеобразную "автомодельность": в них $d^2\sigma/dE_1 d\cos\theta_1$ зависит от переменных $\gamma = E_0\theta_1 m_p^{-1}$ и $\epsilon_0 = E_1/E_0$, вместо θ_1 , E_1 и E_0 . Это было замечено в [4].

Эти формулы можно получить в простой модели, полагая, что протон, пролетая мимо Λ^{27} (или мимо нуклона) возбуждается превращаясь в некоторое состояние с массой $\sqrt{s_1}$, которое в лаб. системе движется со скоростью

$$\beta_0 = \frac{p_0}{E_0} \approx 1, \text{ с энергией } E_0 \text{ и которое распадается на } \pi^- \text{ и } \Delta^{++} \text{ в}$$

некотором направлении $p_1(z_1, \phi_1)$ в системе их ц. и. Преобразование Ло-

$$\text{ренца от этой к лаб. системе } E = (\omega_1 + z_1 k_1) E_0 / \sqrt{s_1}, \quad \omega_1 = \frac{s_1 + m_\pi^2 - m_\Delta^2}{2\sqrt{s_1}},$$

$$k_1 = \sqrt{\omega_1^2 + m_\pi^2} \text{ приводит к указанной выше "автомодельности": } \epsilon = \frac{\omega_1}{\sqrt{s_1}} + \frac{k_1 z_1}{\sqrt{s_1}}$$

и к распределению (6).

Спектры π^- , полученные с помощью "точных" формул (1) — (4) (для $\theta_1 = 0$) и с помощью приближенных (5) — (7) указаны на рис. 2 — соответственно сплошной и пунктирной линиями — для $\gamma = 0$, $\lambda = 0, 01$, при усреднении (4) или (6) по m_2^2 с весовой функцией $\Phi = \Phi_2(m_2)$ с $\sigma = 1$. Они очень близки друг к другу и хорошо соответствуют данным опыта [1].

Аналогично построены на рис. 2 спектры K^- и \bar{p} . В обоих случаях хорошее соответствие с опытом получено при $\gamma = 0,5 + 0,2$ с $\lambda = 0$ и с большим коэффициентом σ в $\Phi_2(m_2)$. Как видно из рис. 2 спектры правильно смещаются с ростом θ_1 .

¹⁾ Учет его приводит к появлению в (6) множителя

$$\int_0^{2\pi} d\phi_0 \exp(2\lambda\Delta t) = k_0(2\lambda i E_0\theta_1 \times \sqrt{s_1 - s_1^0}).$$

Наряду с рис. 1, а вклад дают графики рис. 1, в и рис. 1, д с несколькими "струями" частиц. Учет их приводит к более крутому спаду спектров (так как эти графики обогащают их среднюю часть) и, возможно, не нарушит согласия с опытом, а изменит лишь немного параметры: увеличит λ в случае π и уменьшит γ в случаях K^- и \bar{p} .

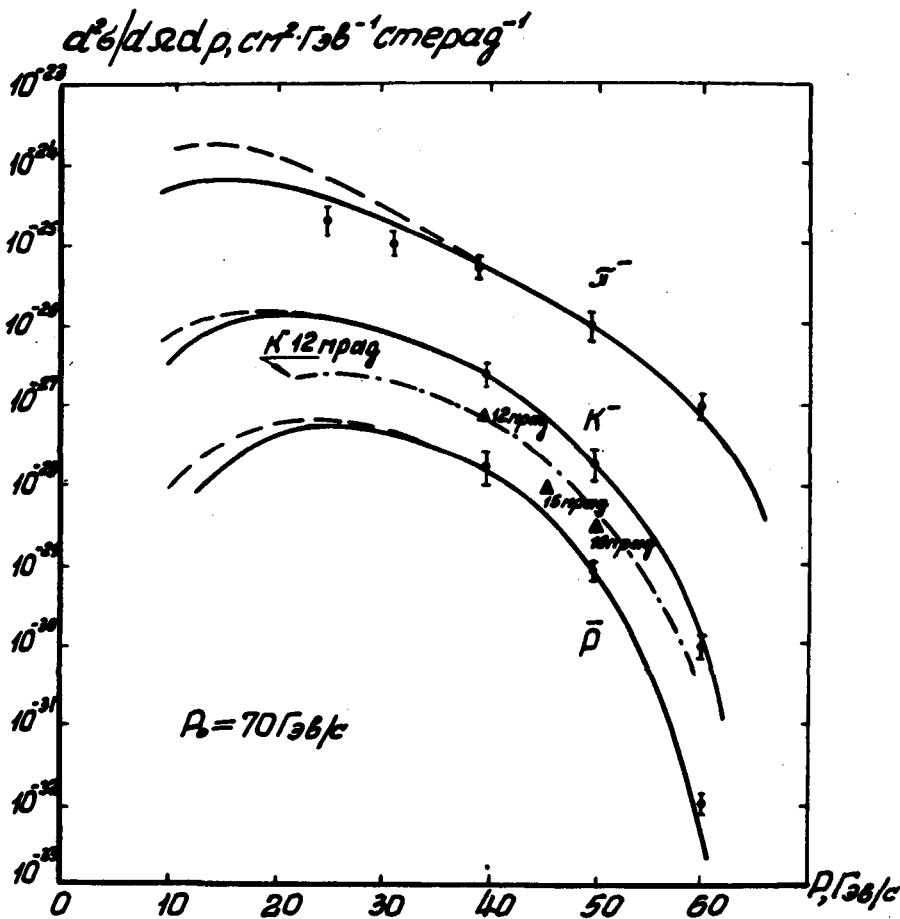


Рис.2

Вершины типа (2) играют важную роль в физике высоких энергий — ход и величины их определяют, в частности, вклад [3] ветвлений в полные сечения взаимодействий.

Авторы выражают благодарность Л.Б.Окуню, В.В.Анисовичу за ряд важных замечаний, Ю.Д.Прокошкину — за обсуждения и ознакомление с данными опыта [1].

Поступила в редакцию
26 января 1970 г.

Литература

- [1] Yu. V. Bushnin, S. P. Donskov, A. F. Dunaitsev, et al. Phys. Lett., 29B, 48, 1969.
- [2] S. Mandelstam. Nuovo Cim., 30, 1127, 1148, 1963.
- [3] K. A. Ter-Martirosyan. Nucl. Phys., 68, 591, 1964.
- [4] A. Liland, H. Pilkuhn. Phys. Lett., 29B, 604, 1969.